

ISSN 1009-3079

CN 14-1260/R

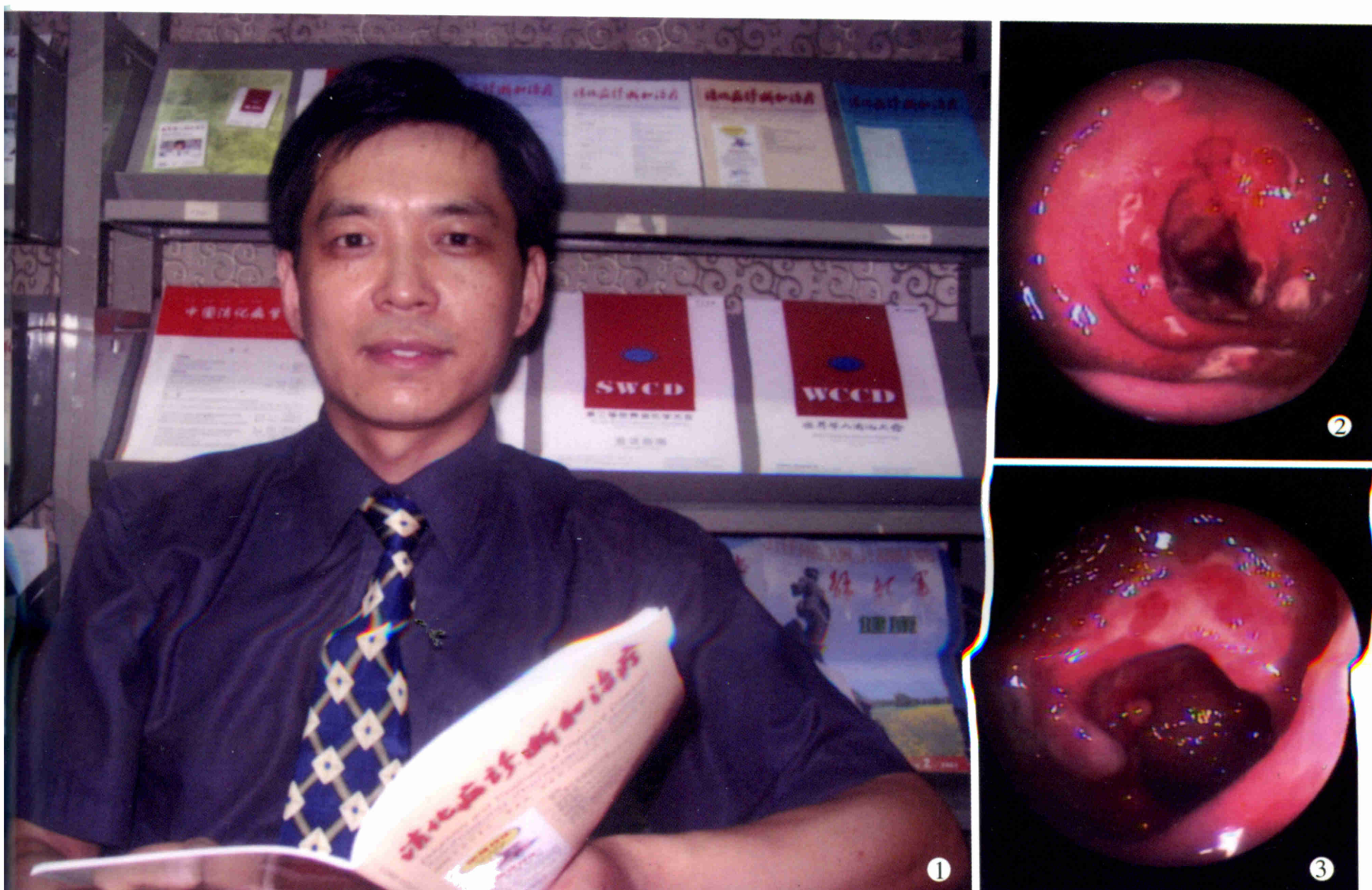
世界华人消化杂志[®]

WORLD CHINESE
JOURNAL OF DIGESTOLOGY

Shijie Huaren Xiaohua Zazhi

2003年8月15日 第11卷 第8期

(Volume 11 Number 8)



8/2003

ISSN 1009-3079



9 771009 307001

名誉总编辑

潘伯荣

总编辑

马连生

World Journal of Gastroenterology[®] 被 SCI[®]-E, Research Alert[®], Current Contents[®]/Clinical Medicine, Journal Citation Reports[®], Index Medicus, MEDLINE, Chemical Abstracts, EMBASE[®], Excerpta Medica 收录。2002 年 JCR[®] 报告 WJG 影响因子 2.532. 世界华人消化杂志[®] 被 Chemical Abstracts, EMBASE[®], Excerpta Medica 收录。2001 年中国科技期刊引证报告: 世界华人消化杂志[®] 影响因子 3.733, WJG 影响因子 2.920.

世界华人消化杂志

Shijie Huaren Xiaohua Zazhi

● 目 次 ●

2003 年 8 月 15 日 第 11 卷 第 8 期 (总第 112 期)

述 评	1073 乙型肝炎病毒基因组结构与功能复杂性的新认识 成军, 董菁 1081 重视溃疡性结肠炎的诊断和个体化规范化治疗 江学良
病毒性肝炎	1083 乙型肝炎病毒中国流行株全基因的克隆与序列分析 成军, 董菁, 洪源, 钟彦伟, 刘妍, 王刚, 王琳 1091 乙型肝炎病毒基因组中前 - 前 -S 区编码基因的界定 董菁, 成军 1097 乙型肝炎病毒基因组中前 -X 编码基因的界定 董菁, 成军 1102 羧基末端截短型乙型肝炎病毒表面抗原中蛋白反式激活基因 1 的克隆化研究 刘妍, 成军, 王琳, 王建军, 陆荫英, 李克 1107 乙型肝炎病毒 X 蛋白激活基因 1 的克隆化与序列分析 刘妍, 成军, 王琳, 王建军, 陆荫英, 李克 1114 乙型肝炎病毒前 -S2 蛋白结合蛋白基因 S2-29 的克隆化研究 陆荫英, 陈天艳, 成军, 梁耀东, 王琳, 刘妍, 李克, 张健, 邵清, 张玲霞 1118 酵母双杂交技术筛选鉴定乙型肝炎病毒 e 抗原结合蛋白 E-19 的研究 陆荫英, 邵清, 成军, 陈天艳, 王琳, 梁耀东, 刘妍, 张健, 李克, 张玲霞 1122 酵母双杂交技术筛选鉴定乙型肝炎病毒核心蛋白结合蛋白新基因 C-12 的研究 陆荫英, 陈天艳, 成军, 邵清, 梁耀东, 王琳, 刘妍, 张健, 李克, 张玲霞 1126 乙型肝炎病毒 X 蛋白与去唾液酸糖蛋白受体 2 突变体相互作用的研究 陆荫英, 陈天艳, 成军, 梁耀东, 王琳, 刘妍, 张健, 邵清, 李克, 张玲霞 1131 羧肽酶 N 调节乙型肝炎病毒核心启动子表达活性的研究 张忠东, 成军, 钟彦伟, 杨倩, 王业东, 董菁, 杨艳杰, 张树林 1135 丙型肝炎病毒 NS5A 基因变异与干扰素疗效的关系 张琳, 赵桂珍, 石理兰, 曹丽 1139 汉族人 IL-12b 和 IL-10 启动子区基因多态性与 HBV 感染的相关性 李永纲, 刘明旭, 王福生, 金磊, 洪卫国
基础研究	1144 肝外胆管癌组织 BAG-1 与 BAD 表达与凋亡调控的原位定量研究 闫庆国, 师建国, 黄高昇, 张传山, 李青, 胡沛臻, 王文亮 1148 牛磺酸脱氧胆酸损伤线粒体诱导 HepG2 细胞凋亡 李光明, 谢青, 周霞秋, 俞红, 郭清, 廖丹, 李定国 1152 肝硬化大鼠肝部分切除后肝细胞生长周期的调控 陈平, 李昆, 董家鸿, 韩本立 1156 苦参碱对大鼠原位肝移植冷缺血再灌注中肝窦内皮细胞损伤的影响 仇毓东, 朱新华, 史敏科, 丁义涛 1160 犬肝动脉输注阿霉素联合血液灌流的研究 张志友, 张文怡, 钱绍诚 1164 中国人金属基质蛋白酶组织抑制因子 -1 基因的克隆与表达 刘双虎, 谭德明, 侯珏, 胡国龄 1168 卡托普利对肝纤维化模型鼠 MMP-2, 3 TIMP-2, 3 表达的影响 李乾, 张桂英, 李新华, 徐美华 1172 垂体后叶素和特利加压素降低门胆汁性肝硬化大鼠门静脉高压对肝组织氧分压的影响 祝建波, 邓利群, 王思元 1175 电泳法检测肝和血清中醇脱氢酶同工酶 宥庆梅, 曹鲁宁, 高春芳 1178 肝细胞生成素核受体的确定及特性 王阁, 陈东风, 胡铭, 王军, 樊丽琳, 张晓荣 1182 PD98059 对乙醛刺激的大鼠肝星状细胞增生的影响 马洪德, 蒋明德, 钟显飞, 解方为, 曾维政 1185 雌二醇对肝纤维化大鼠 I, III 型胶原及 TGF β_1 表达的影响 许君望, 龚均, 冯新利, 莫新明, 罗金燕, 董蕾, 贾皑, 徐贵平 1189 大鼠急性酒精性脂肪肝造模方法的改进 冯志强, 沈志祥, 谭诗云, 罗和生, 漆楚波, 郭洁, 李海霞 1193 丁酸钠联合穿琥宁对人大肠癌细胞 HCT-8 增生的影响 布立民, 纪欣, 韩英, 陈刚, 王志红, 孙淑红 1197 大肠癌组织胸苷磷酸化酶 / 血小板衍生内皮细胞生长因子的表达及意义 余细球, 邓长生, 朱尤庆, 程芳洲 1200 多粘菌素 B 及其模拟肽体外抗内毒素的实验研究 万志红, 王宇明, 刘国栋 1203 肥大细胞在胃嗜酸性肉芽肿发病中的作用 高振军, 罗和生, 操寄望, 余保平, 宋刘来

临床研究

- 1207 鱼腥草治疗初发型溃疡性结肠炎的临床研究 江学良, 权启镇, 孙自勤, 王要军, 尚瑞莲, 齐风
1211 奥沙拉秦钠治疗慢性反复发作型溃疡性结肠炎随机对照研究 江学良, 权启镇, 孙自勤, 王要军, 尚瑞莲, 齐风
1214 抗栓灵含片治疗伴有血小板活化的难治性溃疡性结肠炎 江学良, 权启镇, 孙自勤, 王要军, 尚瑞莲, 齐风
1219 胃癌前病变演变过程中凋亡相关蛋白和PCNA的表达意义 伍银桥, 王孟薇, 吴本俨, 尤纬缔, 祝庆孚
1223 汉防己甲素抑制肝癌细胞增生的作用 荆绪斌, 李涛, 杨绮华, 郭光华, 胡辉, 陈素钻
1227 美蓝染色放大电子结肠镜观察结肠息肉与组织病理学的关系 苏鲁, 潘洪珍, 翁敬飚, 徐艺华, 陈芳, 洪梅燕
1230 肝硬化患者血浆胃动素、胆囊收缩素、生长抑素及其胃电的改变 张蓉, 闻勤生, 黄裕新, 赵海峰, 田力
1234 肠易激综合征402例发病时间分布及症状特征 许小幸, 李定国, 宋光辉, 周惠清, 刘清华

焦点论坛

- 1237 乙型肝炎病毒基因组结构与功能复杂性的研究进展 成军
1238 准种是乙型肝炎病毒存在的基本方式 成军, 董菁, 刘妍, 王琳, 钟彦伟, 王刚
1240 乙型肝炎病毒X基因启动子结构及调节研究 邵清, 成军, 白雪帆
1242 乙型肝炎病毒核心蛋白结合蛋白的研究 梁耀东, 成军, 陆荫英, 吴君, 程明亮
1245 羧基末端截短型乙型肝炎病毒表面抗原中蛋白反式激活作用的研究 成军, 刘妍, 洪源, 王建军, 杨倩
1248 乙型肝炎病毒X蛋白反式激活作用的研究 杨倩, 刘妍, 成军, 王建军, 洪源, 张树林
1250 乙型和丙型肝炎病毒蛋白对于细胞周期素A的调节研究 成军, 刘妍, 王琳, 钟彦伟, 王刚
1255 乙型和丙型肝炎病毒对细胞周期素及细胞周期素依赖性蛋白激酶的调节 成军, 刘妍, 洪源, 王建军, 杨倩
1258 乙型和丙型肝炎病毒对MAPKK信号转导的影响 张忠东, 成军, 钟彦伟, 张树林
1261 乙型和丙型肝炎病毒蛋白对蛋白酪氨酸激酶信号转导的影响 张忠东, 成军, 钟彦伟, 张树林
1264 RNA干扰与抗肝炎病毒治疗前景的研究 成军, 刘妍, 王琳, 钟彦伟, 王刚

临床经验

- 1222 一氧化碳中毒伴筋膜间隙综合征的综合治疗 邬淑杭, 马丽萍, 金镇勋, 贺红, 王一玲, 李冰
1267 胃黏膜相关淋巴组织淋巴瘤21例 樊丽琳, 陈东风

病例报告

- 1143 成人不典型郎格罕组织细胞增生症1例 王巍峰, 黄启阳, 王志强, 杨云生
1147 慢性酒精性肝损伤致Gilbert综合征样改变1例 张文瑾, 王晓峰, 赵景民
1192 小肠血管结构不良2例 冯瑞娥, 赵大春, 陈杰

消息

- 1080 欢迎订阅2003年度世界华人消化杂志
1090 欢迎订阅2003年度World Journal of Gastroenterology®
1130 世界华人消化杂志获得2001年度百种中国杰出学术期刊
1155 世界胃肠病学杂志英文版获得2003-2004年国家自然科学基金重点学术期刊专项基金资助
1226 WJG搭建我国消化学基础和临床研究唯一国际交流的平台

封面故事

- 1138 溃疡性结肠炎的基础和临床研究

世界华人消化杂志

Shijie Huaren Xiaohua Zazhi

吴阶平 题写封面刊名
陈可冀 题写版权刊名
(月刊)
创刊 1993-01-15
改刊 1998-01-25
出版 2003-08-15
原刊名 新消化病学杂志

总顾问 陈可冀
黄象谦
黄志强
黎介寿
刘耕陶
裘法祖
汤钊猷
王宝恩
危北海
吴孟超
吴咸中

张金哲
张学庸
赵东海
周殿元
社长总编辑 马连生
中文编辑 潘伯荣
王瑾晖
英文编辑 朱丽虹
排版 李少华
校对 李天华

编辑 世界华人消化杂志编辑委员会
030001, 山西省太原市双塔西街77号
E-mail: wcjd@wjgnet.com
出版 世界胃肠病学杂志社
100023, 北京市2345信箱
E-mail: wcjd@wjgnet.com
<http://www.wjgnet.com>
电话 (010)85381892
传真 (010)85381893
印刷 北京科信印刷厂
发行 国内 北京报刊发行局
国外 中国国际图书贸易总公司
(100044, 北京399信箱)
订购 全国各地邮电局
邮购 世界胃肠病学杂志社发行部
(100023, 北京市2345信箱)
电话:(010)85381892
传真:(010)85381893
2003年版权归世界胃肠病学杂志社所有

本刊已被国内外 检索系统收录

美国《化学文摘(CA)》
荷兰《医学文摘库/医学文摘(EM)》
俄罗斯《文摘杂志(PK)》
中国科技论文统计与分析
中国学术期刊文摘
中国中医药信息服务网
中国生物医学文献光盘数据库
《中文科技资料目录(医药卫生)》
中国生物医学期刊目次数据库
中国医学文摘外科学分册(英文版)
中国医学文摘内科学分册(英文版)

特别声明

本刊刊出的所有文章不代表世界胃肠病学杂志社和本刊编委会的观点, 除非特别声明。本刊如有印装质量问题, 请向本刊编辑部调换。

美蓝染色放大电子结肠镜观察结肠息肉与组织病理学的关系

苏鲁, 潘洪珍, 翁敬飚, 徐艺华, 陈芳, 洪梅燕

苏鲁, 潘洪珍, 翁敬飚, 徐艺华, 陈芳, 洪梅燕, 海南省工人医院消化内镜科 海南省海口市 570311

苏鲁, 男, 1953-04-生, 内蒙古科左后旗人, 蒙古族, 主任医师。
项目负责人: 苏鲁, 570311, 海南省海口市白水塘路48号, 海南省工人医院
消化内镜科. lusuendoscopy@yahoo.com.cn

电话: 0898-66826177

收稿日期: 2002-11-11 接受日期: 2002-12-02

Relationship between histopathology and surface microstructure of colorectal polyps under chromo-magnifying endoscope with methylene blue

Lu Su, Hong-Zhen Pan, Jing-Biao Weng, Yi-Hua Xu, Fang Chen,
Mei-Yan Hong,

Lu Su, Hong-Zhen Pan, Jing-Biao Weng, Yi-Hua Xu, Fang Chen,
Mei-Yan Hong, Department of Digestive Endoscopy, The Worker's
Hospital of Hainan Province, Haikou 570311, Hainan Province, China.
Correspondence to: Dr. Lu Su, Department of Digestive Endoscopy,
The Worker's Hospital of Hainan Province, Haikou 570311, Hainan
Province, China. lusuendoscopy@yahoo.com.cn
Received: 2002-11-11 Accepted: 2002-12-02

Abstract

AIM: To study the relationship between histopathology and the surface microstructure of colorectal polyps detected by the chromo-magnifying endoscopy with methylene blue.

METHODS: After 5 g/L methylene blue solution was sprayed to the surface of colorectal polyps, the normal mucosa and polypoid lesions were observed with the magnifying electronic colonoscope. The pit pattern of colorectal mucosa and polypoid lesion were recorded according to Kudo's criteria. Then the polyps biopsy specimen or resected samples were sent for histopathologic evaluation.

RESULTS: By conventional colonoscopy, 67 patients had 180 visible polypoid lesions, another 90 lesions with a size of 1-3 mm were discovered by chromoendoscopy with methylene blue. The detection rate of adenomatous lesion can be raised obviously by chromomagnifying endoscopy ($\chi^2=88.01$, $P<0.001$). The pit pattern of 270 polypoid lesions were classified into six categories. Two adenomas were type II (0.7%); 203 polypoid lesions are type III_s (75.2%), 49 adenomas (18.1%) showed type III_L, low or moderate grade dysplasia were found in 7 cases; 11 adenomas displayed type IV (4.1%), low grade dysplasia were found in 2 and 1 (9.1%) mucosal carcinoma was discovered; 5 lesions showed type V_n (1.9%), in which one was found moderate grade dysplasia, 2 (40%) mucosal carcinomas were discovered. Each polyp was resected for histopathologic evaluation.

CONCLUSION: After the methylene blue was sprayed, type I pit pattern of normal mucosa can be observed clearly by the magnifying colonoscope, which consists of roundish pit, with a regular distribution. The agreement rate of the pit patterns of the adenomatous lesion under magnifying colonoscope and histological findings was 96.7%. Magnifying colonoscope can improve the detection rate of adenomatous lesions and can confirm that there is no tumor tissue left.

Su L, Pan HZ, Weng JB, Xu YH, Chen F, Hong MY. Relationship between histopathology and surface microstructure of colorectal polyps under chromo-magnifying endoscope with methylene blue. Shijie Huaren Xiaohua Zazhi 2003;11(8):1227-1229

摘要

目的: 研究美蓝染色后用放大电子结肠镜观察结肠息肉的微细结构类型与组织病理学的关系。

方法: 使用0.5%美蓝对电子结肠镜检查到有息肉的部位进行息肉及邻近的黏膜进行染色,然后用放大电子结肠镜观察。按Kudo's标准记录正常结肠黏膜和息肉,然后行活检或息肉电切术,以便组织病理学评价。

结果: 本组共67人,普通电子结肠镜检查发现息肉180颗,经美蓝染色后又发现了1-3mm大小的息肉90颗,共计270颗息肉。放大结肠镜可明显提高腺瘤性病变的检出率, $P<0.001$. 270颗病变的隐窝类型分为6种,呈II型者2颗(0.7%);III_s型203颗(75.2%);III_L型49颗(18.1%),其中伴有轻、中度非典型增生者7颗;IV型11颗(4.1%),伴有轻度非典型增生者2颗、黏膜癌1颗(9.1%),V_n共5颗(1.9%),伴有中度非典型增生者1颗,黏膜癌2颗(40%).本组息肉均进行了电切术。

结论: 美蓝染色后用放大电子结肠镜可清晰地观察到结肠隐窝,其大小一致,呈圆形或椭圆形;诊断为腺瘤性息肉与病理组织学的符合率为96.7%,可明显提高息肉的检出率,并可鉴别电切息肉术后残留的基底部是否残留腺瘤组织或癌灶。

苏鲁, 潘洪珍, 翁敬飚, 徐艺华, 陈芳, 洪梅燕. 美蓝染色放大电子结肠镜观察结肠息肉与组织病理学的关系. 世界华人消化杂志 2003;11(8):1227-1229
<http://www.wjgnet.com/1009-3079/11/1227.asp>

0 引言

结肠镜的广泛使用,使得早期结直肠癌的检出率明显提高^[1-6]。研究表明早期癌多由腺瘤性息肉转变而来^[7,8]。因

此,如何发现小的腺瘤性息肉病变和及早发现癌变的腺瘤是提高早期癌检出率和治愈率的关键.现报告我们使用放大电子结肠镜进行腺瘤性息肉检查及治疗的结果.

1 材料和方法

1.1 材料 经电子结肠镜确诊为结直肠息肉 67 例.男 48 例,女 19 例,年龄 3-81,平均 54 ± 17 岁. 放大电子结肠镜为日本富士能 EC-450ZH 型. 染色液为 5 g/L 美蓝溶液,新鲜配制后使用.

1.2 方法 经电子结肠镜检查发现某段结直肠有息肉时,用喷洒管喷洒 5 g/L 美蓝溶液 5-10 ml,于息肉表面及其环周肠腔约 10-20 cm 长范围. 3 min 后进行放大电子结肠镜观察息肉的微细结构,按 Kudo's^[9]方法分型. 记录息肉部位、大小、肉眼分型. 对于 ≤ 3 mm 的息肉行活检病理学检查. 对于 >3 mm 的息肉待 3-7 d 后行息肉电切术,取出标本全瘤做切片. 对于肉眼观察为山田 III 型或 IV 型的息肉,在电切前仔细观察息肉头部及颈部微细结构有无差别,电切时应切掉属于腺瘤部分的组织,而留下染料为正常黏膜的部分. 对于腺瘤性

息肉合并轻 - 重度非典型增生者,在电切术后 1-3 mo 复查结肠镜并用美蓝染色观察. 特别是电切息肉后的基底部,观察染色是否为正常黏膜.

2 结果

本组 67 例中单发息肉 26 例,多发 41 例,3 例合并有结肠癌.普通电子结肠镜发现息肉 180 颗,经美蓝染色后用放大电子结肠镜检查又发现了 1-3 mm 大小的息肉 90 颗,共计 270 颗. 美蓝染色后放大电子结肠镜检查明显提高了息肉的检出率($P < 0.001$, $\chi^2 = 88.01$)^[10]. 息肉位于直肠 31.1%;乙状结肠 24.4%;降结肠 11.5%;横结肠 24.8%;升结肠 7.5%;盲肠 0.7%. 肉眼观察为山田 I 型息肉 68.9%;山田 II 型息肉 18.1%;山田 III 型息肉 7.8%;山田 IV 型息肉 5.2%. 正常黏膜染色后用放大电子结肠镜观察隐窝开口呈均匀一致分布的圆形或类圆形结构(图 1). 呈 II 型(图 2)者 2 颗(0.7%); III_s 型(图 3)者 203 颗(75.2%); III_L 型(图 4)者 49 颗(18.1%); IV 型(图 5)者 11 颗(4.1%); V_N 型(图 6)共 5 颗(1.9%),美蓝染色后电子放大结肠镜观察与组织病理学关系详见表 1. 腺瘤

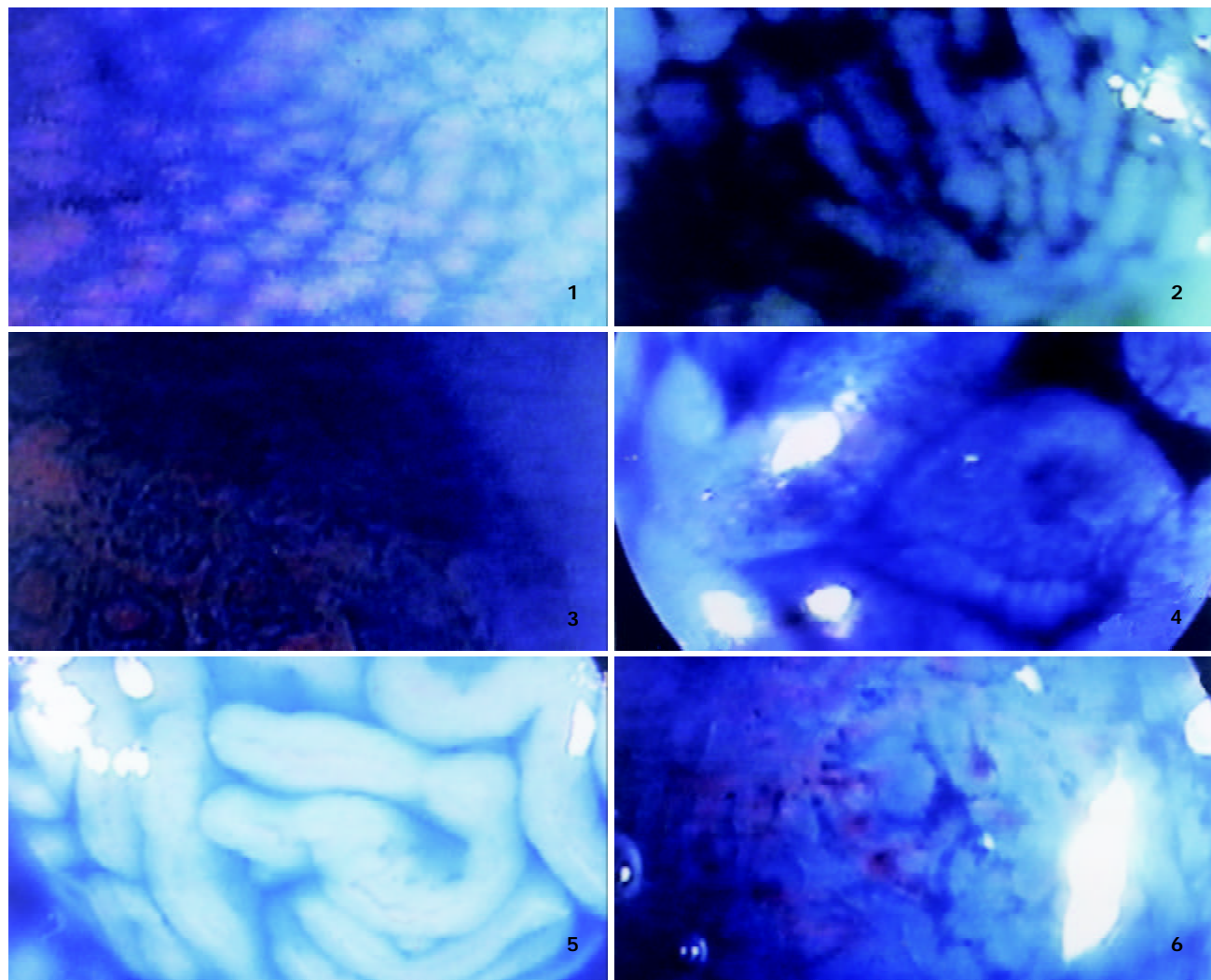


图 1 I型:正常结肠黏膜美蓝染色后可见隐窝呈圆形、分布规则、大小一致. 图 2 II型:染色后放大结肠镜观察见相对大的洋葱样隐窝. 图 3 III_s型:染色后放大结肠镜观察见小于正常黏膜的管状或类圆形隐窝. 图 4 III_L型:染色后放大结肠镜观察见大于正常黏膜的管状或类圆形隐窝. 图 5 IV型:染色后放大结肠镜观察见脑回状隐窝. 图 6 V_N型:染色后放大结肠镜观察见无结构型或类型不清隐窝.

性息肉大小与非典型增生及癌变的关系见表2.13例腺瘤性息肉并非典型增生及癌变者,于内镜电切术后1-3 mo行息肉残端染色放大电子结肠镜观察,结果仅1例原为30 mm的息肉并中度非典型增生者,其残端尚存10 mm大的腺瘤组织。再次电切术,术后未见再发。其余患者病变残端均平坦,美蓝染色后未见异常。

表1 放大分型与组织病理学关系

放大分型	非瘤n	腺瘤性息肉n	低度非典型增生n	中度非典型增生n	黏膜癌n
II		2			
III _s	7	196			
III _L		42	5	2	
IV		8	2		1
V _n	1	1		1	2

表2 腺瘤性息肉大小与非典型增生及癌变的关系 n(%)

息肉最大径	非瘤	腺瘤	轻非典	中非典	癌变
≥ 2 mm	1 (1.1)	89 (88.9)			
3 mm-	3 (2.6)	116 (96.6)			1 (0.8)
6 mm-	2 (5.0)	35 (87.5)	3 (7.5)		
10 mm-		5 (71.4)	2 (28.6)		
20 mm-	1 (9.1)	5 (45.5)	2 (18.2)	2 (18.2)	1 (9.1)
30 mm-	1 (33.3)			1 (33.3)	1 (33.3)

3 讨论

近来使用高分辨的电子结肠镜已使鉴别腺瘤性息肉成为可能^[11]或将0.35 g/L靛蓝液加压喷洒到结肠息肉表面,观察其渗血与否来判断是否为腺瘤^[12],其敏感性为92%,大于普通结肠镜。使用染色剂染色后再用放大结肠镜进行观察结肠黏膜隐窝形态对确定腺瘤性息肉更具有指导性意义^[13]。靛蓝胭脂染色是一种色素对比法,他可显示出黏膜微细的凹凸变性,再用放大结肠镜观察,可较准确地预测腺瘤性息肉^[14-19]、有无癌变^[20,21]以及确定早期结肠癌浸润的深度,对于制定治疗方法的选择也有指导意义。美蓝染色剂是一种可吸收色素,而腺管开口不染色,这样可清楚显示腺管开口形态,根据其形态变化帮助鉴别病灶的性质。我们介绍的美蓝染色并经放大结肠镜观察后见正常结肠黏膜隐窝呈一致类圆形开口,其他染色后类型也清晰地表现出来,并且与组织学病理的结果相当一致。我们检查的腺瘤性息肉中III_s型占75.2%;III_L型占18.1%,其中伴有轻中度非典型增生者占14.3%(7/49);IV型占4.1%,其中伴有非典型增生18.2%,早期癌占9.1%;V_n型占1.9%,其中伴有中度非典型增生占20%,早期癌占40%。此结果与既往的报告类似。即随着染色类型从III至V型,则早期癌的检出率逐渐增多。由于染色放大观察对癌变的腺瘤有较易识别的特性,因此,也可用于多发息肉特别是息肉病患者检查癌变息肉提供准确的方法。染色

后用放大结肠镜确定腺癌性息肉的准确率达到96.7%,说明在进行病理检查前可预测其组织学类型。对于发现癌变的腺瘤也有较高的价值。由于我国腺瘤性息肉癌变的组织病理学诊断标准与日本相比存在较大差异,因此,早期癌的检出率低于日本文献报告的结果。这也是今后进一步深入研究的方向。本结果显示经美蓝染色放大电子结肠镜检查后明显提高了<3 mm的腺瘤性息肉的检出率,这对于发现小的腺瘤并及早治疗起到了关键的作用。

4 参考文献

- 于皆平,董卫国.大肠癌早期诊断的现状.世界华人消化杂志 1999;7:553-554
- 吴云林,范嵘.变焦扩大内镜诊断结直肠癌.世界华人消化杂志 2000;8:98-99
- 苏鲁.中国消化内镜治疗水平现状.世界华人消化杂志 2002;10:252-257
- 韩英.大肠癌早期内镜的诊断.世界华人消化杂志 2001;9:789-790
- 李世荣.大肠癌的诊断和治疗.世界华人消化杂志 2001;7:780
- 王燕斌,杨昭徐.大肠癌的常规诊断.世界华人消化杂志 2001;9:792-793
- 吕愈敏,顾芳,李改英,林三仁,周丽雅.早期大肠癌的内镜治疗.中华消化内镜杂志 2000;17:134-136
- 杨天赐,陈宝英,孙木泉,林淑惠,刘麒樱,施至乾,赖亚栋.大肠腺瘤性息肉766例分析.中华消化内镜杂志 2001;18:92
- Kudo S, Rubio CA, Teixeira CR, Kashida H, Kogure E. Pit pattern in colorectal neoplasia: endoscopic magnifying view. *Endoscopy* 2001;33:367-373
- 上海第一医学院卫生统计教研组.医学统计方法.第1版.上海:上海科学技术出版社,1979:128-129
- Eisen GM, Kim CY, Fleischer DE, Kozarek RA, Carr-Locke DL, Li TC, Gostout CJ, Heller SJ, Montgomery EA, Al-Kawas FH, Lewis JH, Benjamin SB. High-resolution chromoendoscopy for classifying colonic polyps: a multicenter study. *Gastrointest Endosc* 2002;55:687-694
- Kanamori T, Itoh M, Yoshimi N. Pressuredye-spray: a simple and reliable method for differentiating adenomas from hyperplastic polyps in the colon. *Gastrointest Endosc* 2000;55:695-700
- Kudo S, Tamura S, Nakajima T, Yamano H, Kusaka H, Watanabe H. Diagnosis of colorectal tumorous lesions by magnifying endoscopy. *Gastrointest Endosc* 1996;44:8-14
- Kiesslich R, Von Bergh M, Hahn M, Hermann G, Jung M. Chromoendoscopy with indigocarmine improves the detection of adenomatous and nonadenomatous lesions in the colon. *Endoscopy* 2001;33:1001-1006
- Szaloki T. Indigo carmine contrast staining in combination with high resolution electronic endoscopy. *Orv Hetil* 2002;143:25-29
- Togashi K, Konishi F, Ishizuka T, Sato T, Senba S, Kanazawa K. Efficacy of magnifying endoscopy in the differential diagnosis of neoplastic and non-neoplastic polyps of the large bowel. *Dis Colon Rectum* 1999;42:1602-1608
- 施华秀,吴云林.经放大电子结肠镜喷洒靛胭脂对结直肠小息肉的鉴别价值.中华消化内镜杂志 1999;16:135-137
- Jaramillo E, Watanabe M, Slezak P, Rubio C. Flat neoplastic lesions of the colon and rectum detected by high-resolution video endoscopy and chromoscopy. *Gastrointest Endosc* 1995;42:114-122
- Matsumoto T, Iida M, Mizuno M, Shimizu M, Nakamura S, Fujishima M. In vivo observation of the ileal microadenoma in familial adenomatous polyposis. *Am J Gastroenterol* 1999;94:3354-3358
- Tung SY, Wu CS, Su MY. Magnifying colonoscopy in differentiating neoplastic from nonneoplastic colorectal lesions. *Am J Gastroenterol* 2001;96:2628-2632
- Tamura S, Yokoyama Y, Tadokoro T, Higashidani Y, Kohsaki T, Onishi S. Depressed type submucosal invading colon cancer with type V pit pattern. *Gastrointest Endosc* 2001;53:340-341



Published by **Baishideng Publishing Group Inc**
7901 Stoneridge Drive, Suite 501, Pleasanton,
CA 94588, USA
Fax: +1-925-223-8242
Telephone: +1-925-223-8243
E-mail: bpgoffice@wjgnet.com
<http://www.wjgnet.com>



ISSN 1009-3079

08>

A standard linear barcode representing the ISSN number.

9 771009 307056